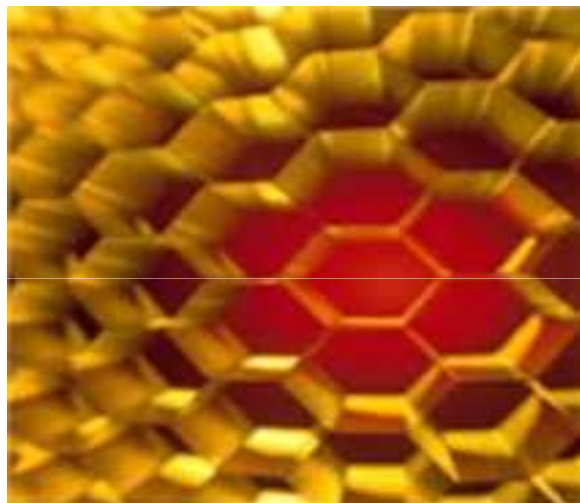


Modélisation du Transfert de Chaleur dans les Structures Poreuses en Nid d'Abeille



Dominique Baillis, Rémi Coquard, Matthieu Thomas & Bruno Estebe



Ec² (MS)
Etudes Conseils Calculs
Mécanique des Structures



PLAN de L'EXPOSÉ

Introduction

1. Description des structures « NIDA » pour isolation thermique -Phénomène de couplage Conduction-Rayonnement

- Résolution Numérique du Couplage
- Évaluation des propriétés conductives
- Évaluation des propriétés radiatives

2. Validation Expérimentale

3. Etude Paramétrique : Évolution de la conductivité équivalente

Conclusion



Contexte /Programme européen

Seventh Framework Programme - Aeronautics And Air Transport

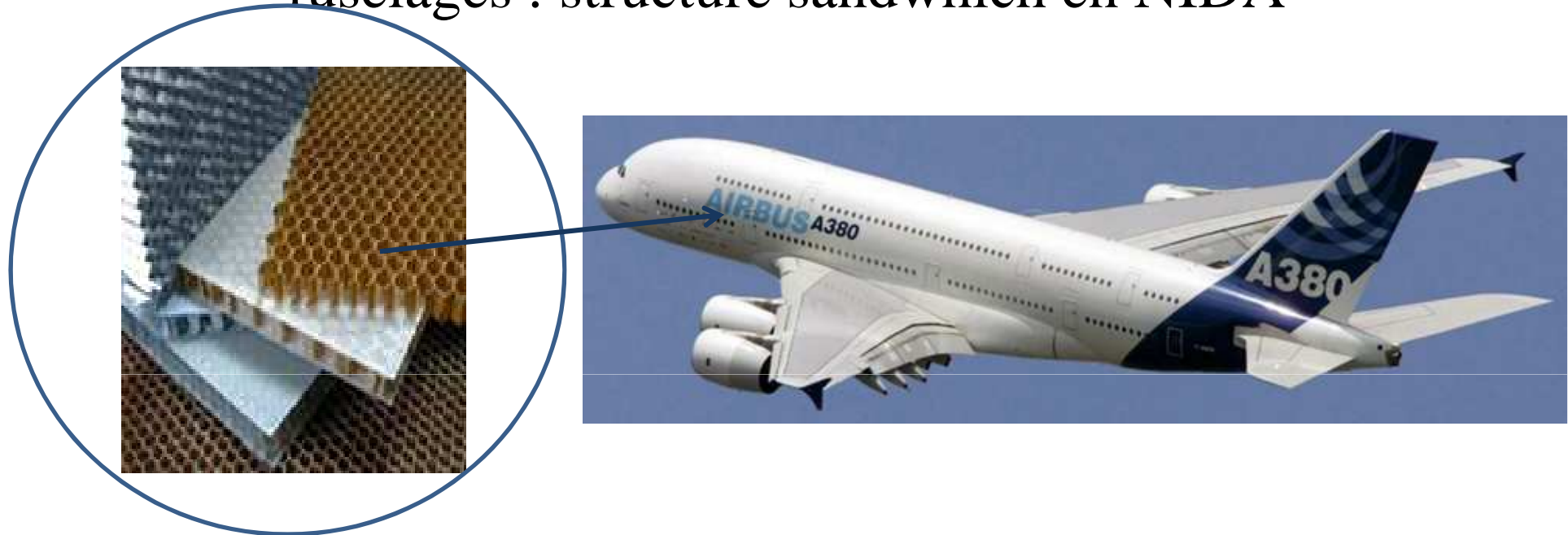


MORE AFFORDABLE AIRCRAFT THROUGH EXTENDED,
INTEGRATED AND MATURE NUMERICAL SIZING

- Programme "transport (including aeronautics)" (Avril 09 – Mars 2013)
- 58 partenaires
- Porteur du projet AIR BUS
- Porteur à l'INSA : Alain Combescure

Utilisation des nids d'abeilles

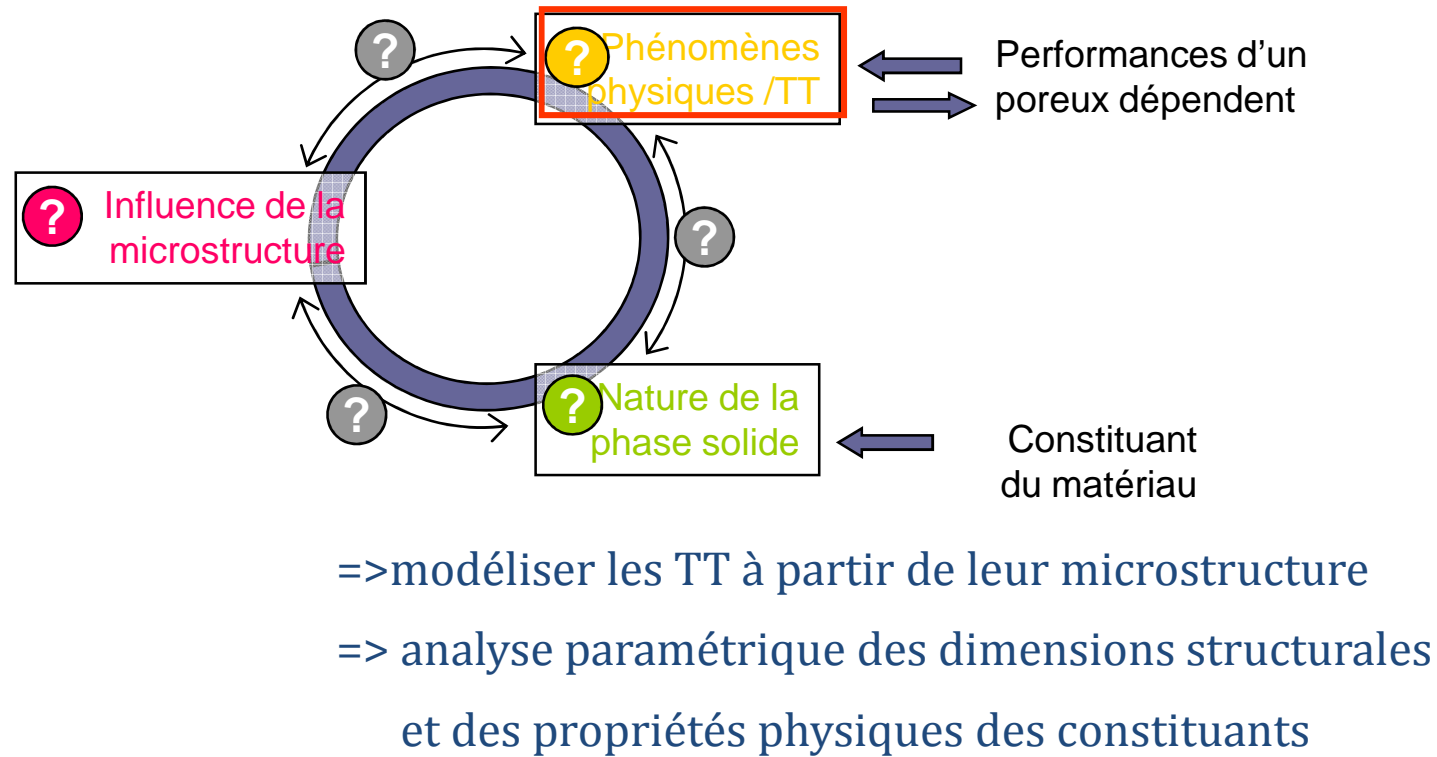
fuselages : structure sandwich en NIDA



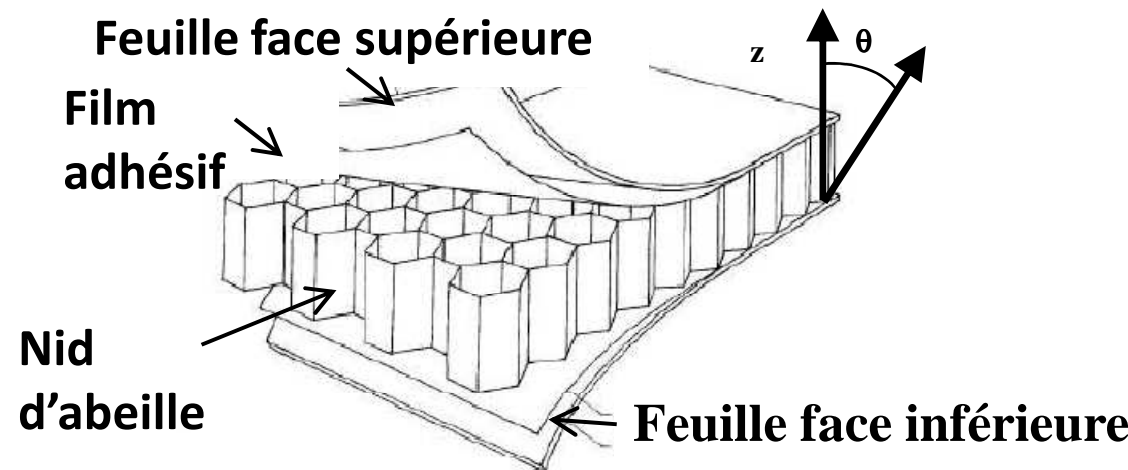
Utilisation multifonctionnelle en aéronautique:

- Léger
- bouclier thermique
- renfort mécanique (bonne tenue à la fatigue due aux vibrations soniques)

Optimisation thermique des nids d'abeilles



Les propriétés thermiques radiatives des nida restent relativement inexplorées.

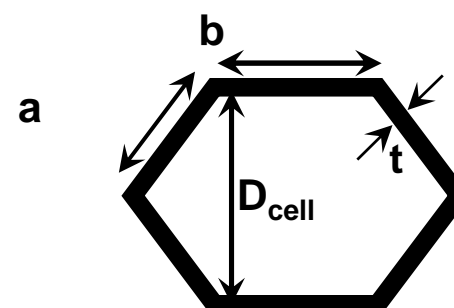


Nid d'abeille :

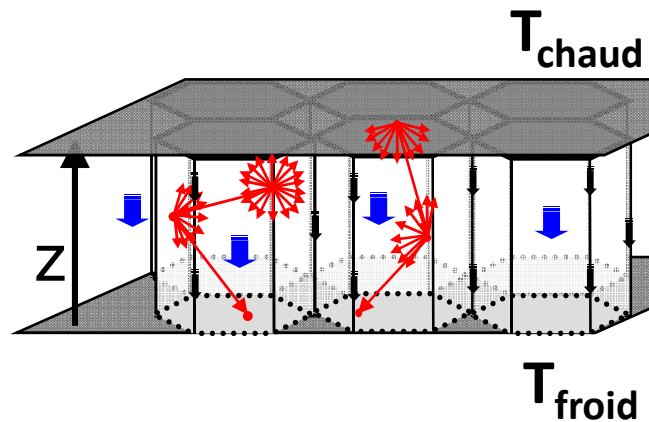
Forte porosité ($\approx 95\%$) → Faible masse volumique ($< 100 \text{ kg/m}^3$)

Structure cellulaire régulième*

anisotrope



Transfert de chaleur dans les « NIDA »



Investigations expérimentales et théoriques sur le TT à travers des matériaux NIDA Morris et al. (1976), Hollands et al. (1984, 1993), Arulanantham et Kaushika (1996), Suehrcke et al. (2004)

Conduction solide

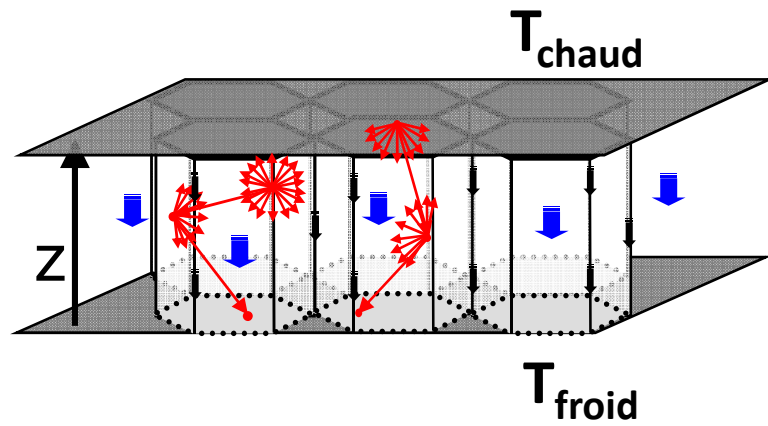
Conduction fluide

Rayonnement thermique

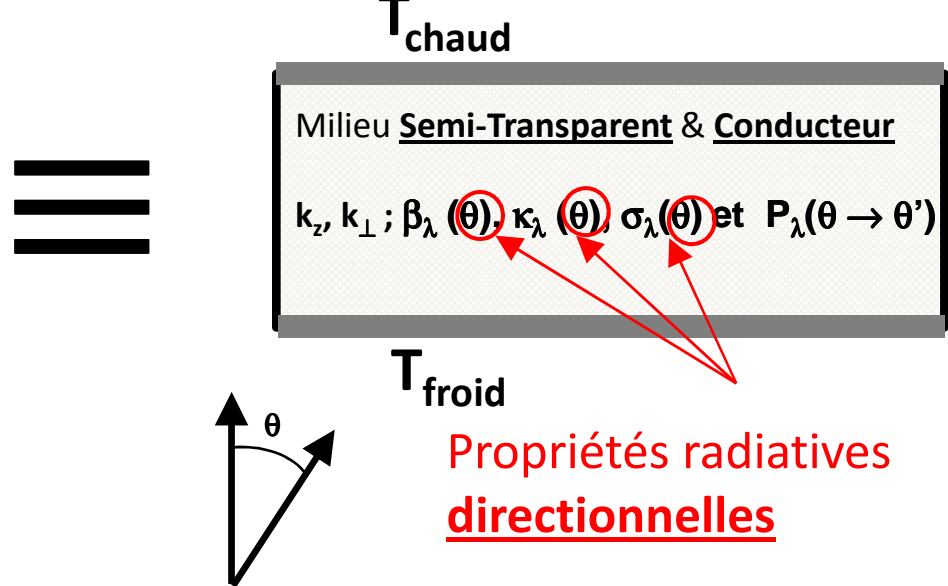
La convection thermique est généralement négligée

couplage conduction - rayonnement

Transfert de chaleur dans les « NIDA »



Conduction solide
Conduction fluide
Rayonnement thermique



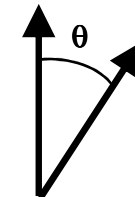
couplage conduction – rayonnement

Milieu confiné entre des parois chaude et froide (1D)

Résolution Numérique du Couplage

Équation de l'énergie en 1-D :

$$\frac{\delta q_c^z}{\delta z} + \frac{\delta q_r^z}{\delta z} = 0 \Leftrightarrow -k_z(T) \cdot \frac{\delta^2 T}{\delta z^2} + \int_0^\infty \kappa_\lambda(\mu) \left[4\pi I_\lambda^0 - \int_{\Omega=4\pi} I_\lambda(z, \mu) d\Omega \right] d\lambda = 0$$



+ Équation du transfert radiatif en 1-D :

$$\mu \frac{\delta I_\lambda(z, \mu)}{\delta z} = -\beta_\lambda(\mu) I_\lambda(z, \mu) + \kappa_\lambda(\mu) I_\lambda^0(T) + \frac{\sigma_\lambda(\mu)}{4\pi} \int_{\Omega'=4\pi} \Phi_\lambda(\mu' \rightarrow \mu) I_\lambda(z, \mu') d\Omega'$$

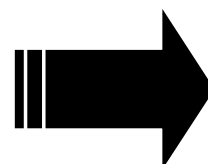
Avec les C.L :

$$\begin{cases} I_\lambda(0, \vec{\Delta}_{\mu>0}) = \varepsilon_{c,\lambda} I_\lambda^0(T_{chaud}) + 2 \times (1 - \varepsilon_{c,\lambda}) \cdot \int_{\mu'<0} I(0, \vec{\Delta}') \cdot \vec{\Delta}' d\Omega' \\ I_\lambda(L, \vec{\Delta}_{\mu<0}) = \varepsilon_{f,\lambda} I_\lambda^0(T_{froid}) + 2 \times (1 - \varepsilon_{f,\lambda}) \cdot \int_{\mu>0} I(L, \vec{\Delta}') \cdot \vec{\Delta}' d\Omega' \end{cases}$$

ptés radiatives spectrales & directionnelles

Résolution par méthodes Numériques :

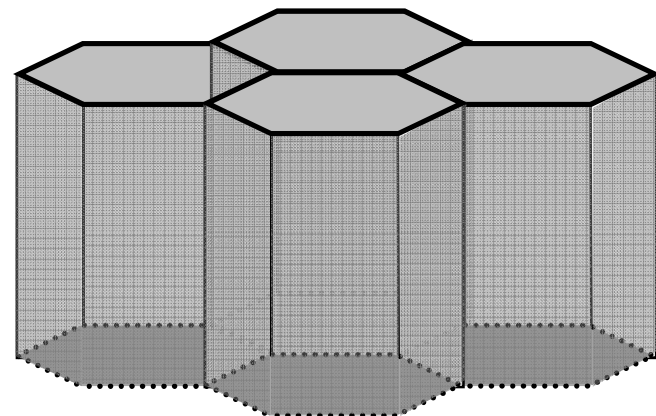
Méthodes des Ordonnées Discrètes pour l'ETR + Méthode des Volumes de Contrôle pour Équation de l'Énergie



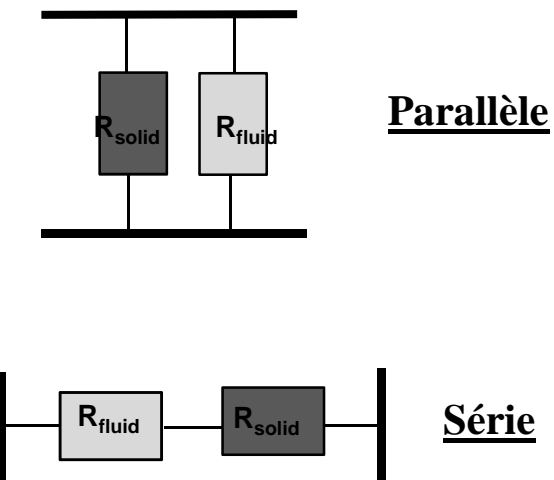
$$k_{equ} = \frac{(q_c^z + q_r^z).L}{(T_{chaud} - T_{froid})}$$

Évaluation de la Conductivité Effective k_z

Analogie électrique



≡



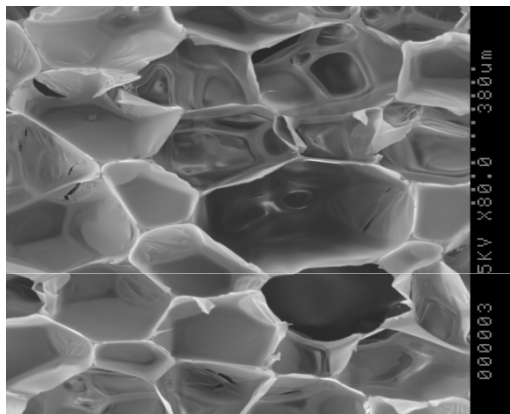
$$\frac{1}{R_z} = \frac{1}{R_{fluid}} + \frac{1}{R_{solid}} \Rightarrow k_z = k_{air} \times \varepsilon + k_s \times (1 - \varepsilon)$$

$$R_\perp = R_{fluid} + R_{solid} \Rightarrow k_\perp = \frac{k_{air} \times k_s}{\varepsilon \times k_s + (1 - \varepsilon) \times k_{air}}$$

Évaluation des P^{tés} Radiatives/Poreux cellulaires

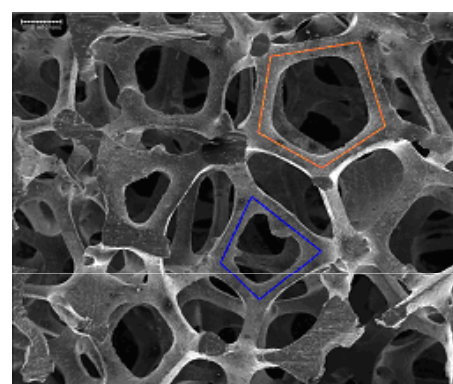
Matériaux cellulaires très étudiés : mousses

Pores fermés

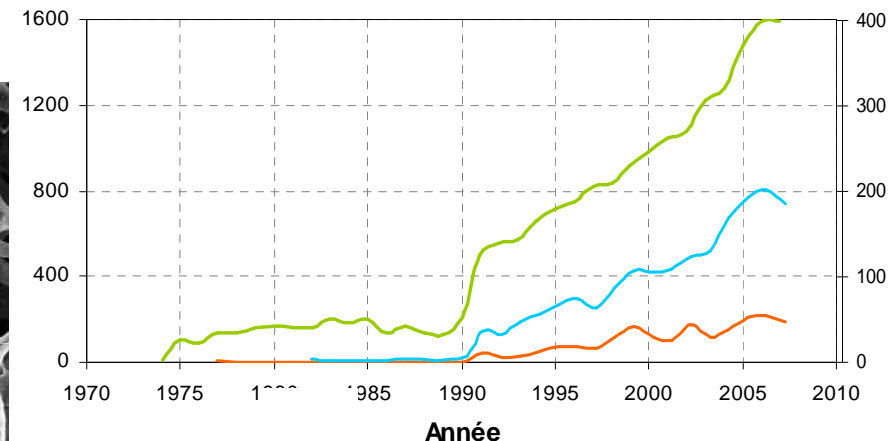


Kuhn *et al.* (1992)
Glicksman *et al.* (1992)
Coquard and Baillis (2006)
Coquard *et al.* (2009)
Kaemmerlen *et al.* (2010)

Pores ouverts



Hendricks and Howell (1996),
Zhao (2004),
Tseng and K.-T Kuo (2002)
Baillis *et al.* (1999), (2000)),
Loretz *et al.* (2008)
Rousseau *et al.* (2008)
Zeghondy *et al.* (2006^{a,b})),
Petrasch *et al.* (2007)



pHD M Loretz 2008

Nombre de travaux publiés sur les
matériaux cellulaires de type mousse

Nombre de travaux publiés sur les
transferts **par conduction and par
rayonnement** dans les mousses

Évaluation des P^{tés} Radiatives/Poreux cellulaires

NIDA

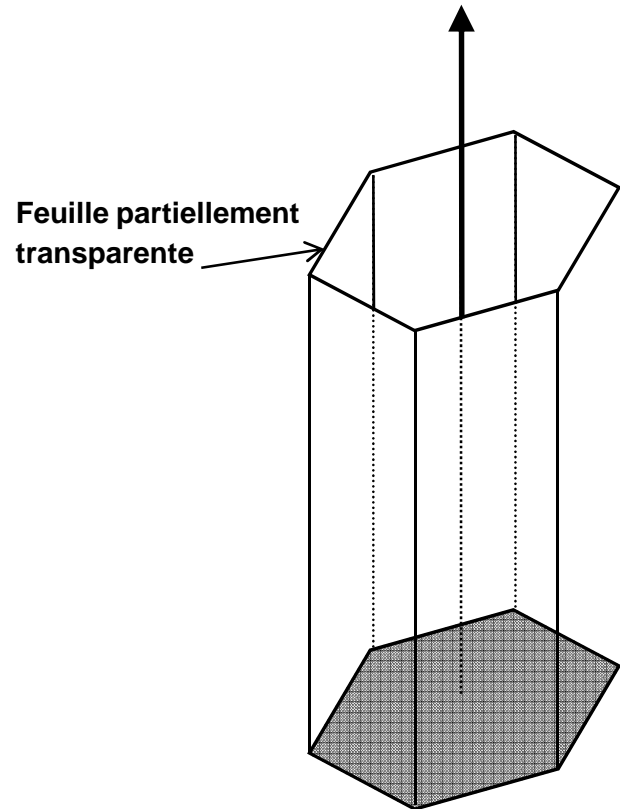


$$x = \frac{\pi \cdot D}{\lambda} \approx 1 \text{ mm} \gg 1$$

$\approx 10 \mu\text{m}$



Approximation de l'optique géométrique ;
interaction rayonnement matière



Évaluation des P^{tés} Radiatives/Poreux cellulaires

NIDA

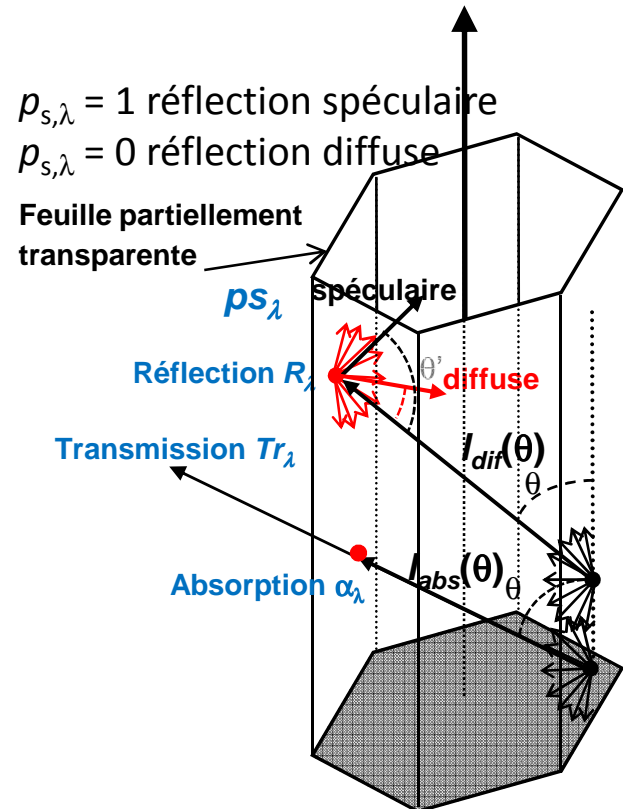


$$x = \frac{\pi \cdot D}{\lambda} \approx 1 \text{ mm} \gg 1$$

$\approx 10 \mu\text{m}$



Approximation de l'optique géométrique ;
interaction rayonnement matière



Approche Lancer de rayons basée sur des travaux sur les mousses Coquard et al. (2011)

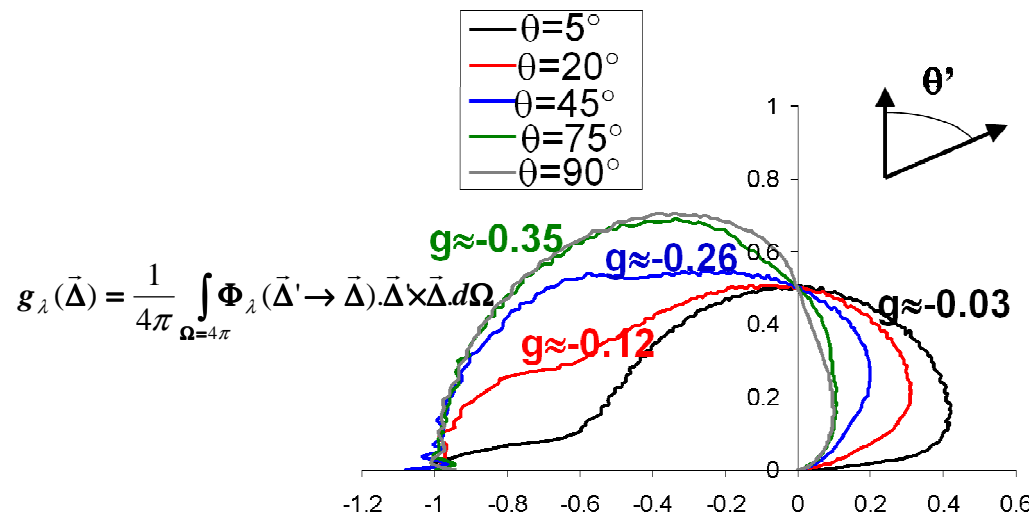
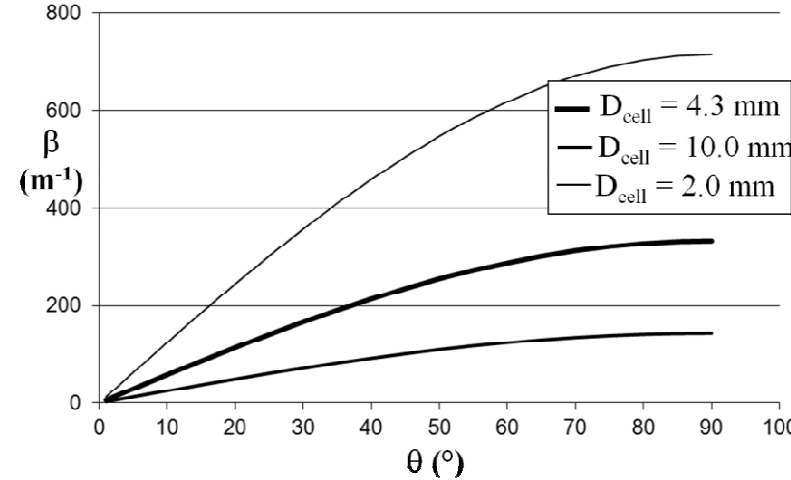
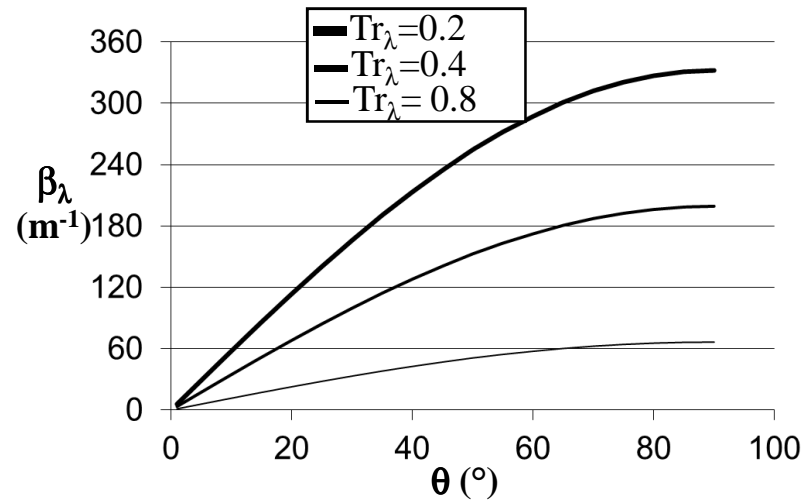
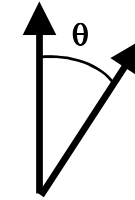
Randrianalisoa and Baillis, JQSRT, 2010

$$\left\{ \begin{array}{l} \kappa(\theta) = \frac{1}{\langle l_{abs}(\theta) \rangle}; \quad \sigma(\theta) = \frac{1}{\langle l_{dif}(\theta) \rangle}; \\ \\ \beta(\theta) = \sigma(\theta) + \kappa(\theta) = \frac{1}{\langle l_{ext}(\theta) \rangle} = \frac{1}{\langle l_{abs}(\theta) \rangle} + \frac{1}{\langle l_{dif}(\theta) \rangle} \\ \\ \Phi(\theta, \theta') = \frac{W(\theta, \theta')}{\frac{1}{2} \int_{\mu'=-1}^1 W(\theta, \theta') \mu' d\mu'} \end{array} \right.$$

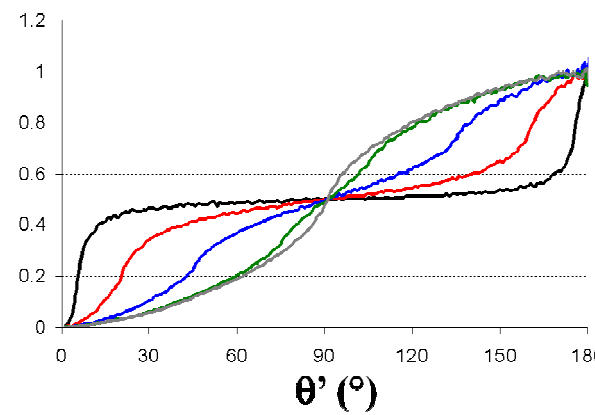
$W(\theta, \theta')$: Distribution des directions de diffusion

Résultats : Variation des propriétés radiatives

Analyse l'ANISTROPIE

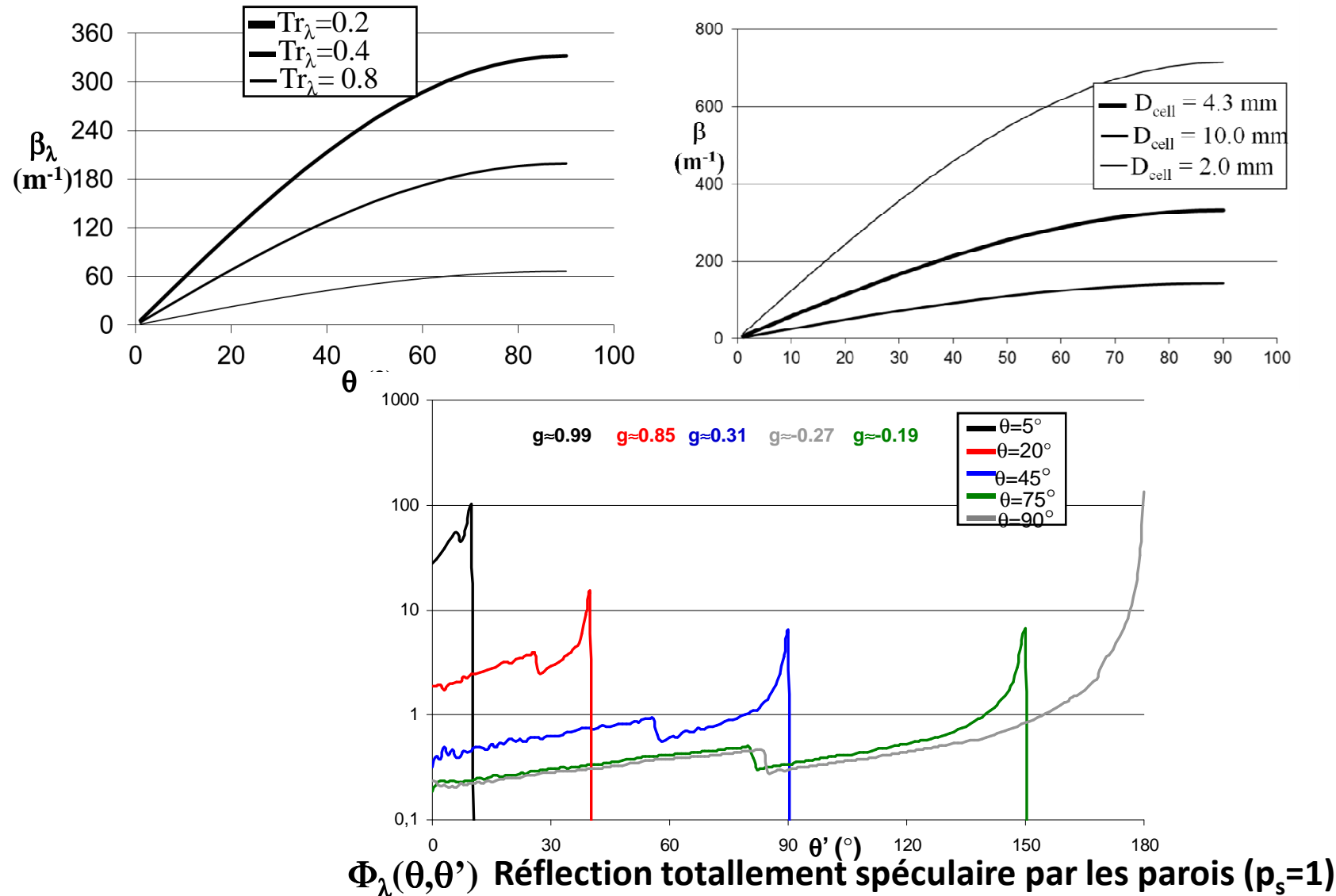


$\Phi_\lambda(\theta, \theta')$ Réflexion totalement diffuse par les parois ($p_s=0$)



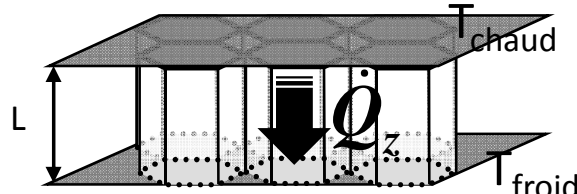
Résultats : Variation des propriétés radiatives

Analyse l'ANISTROPIE



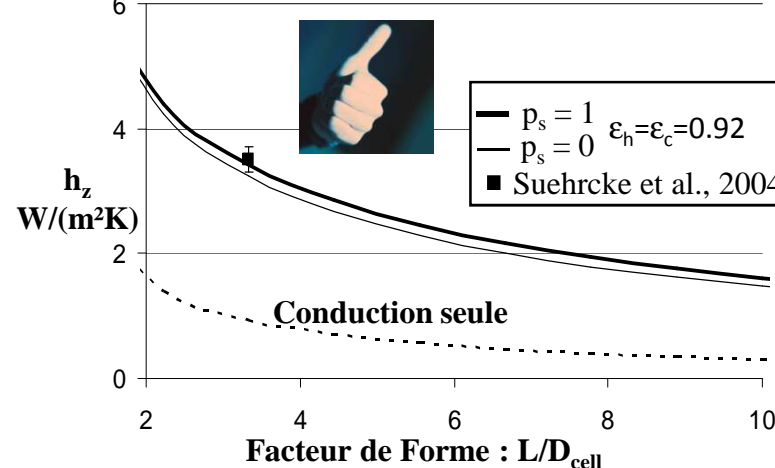
2. Validation expérimentale

Validation expérimentale des modèles théoriques

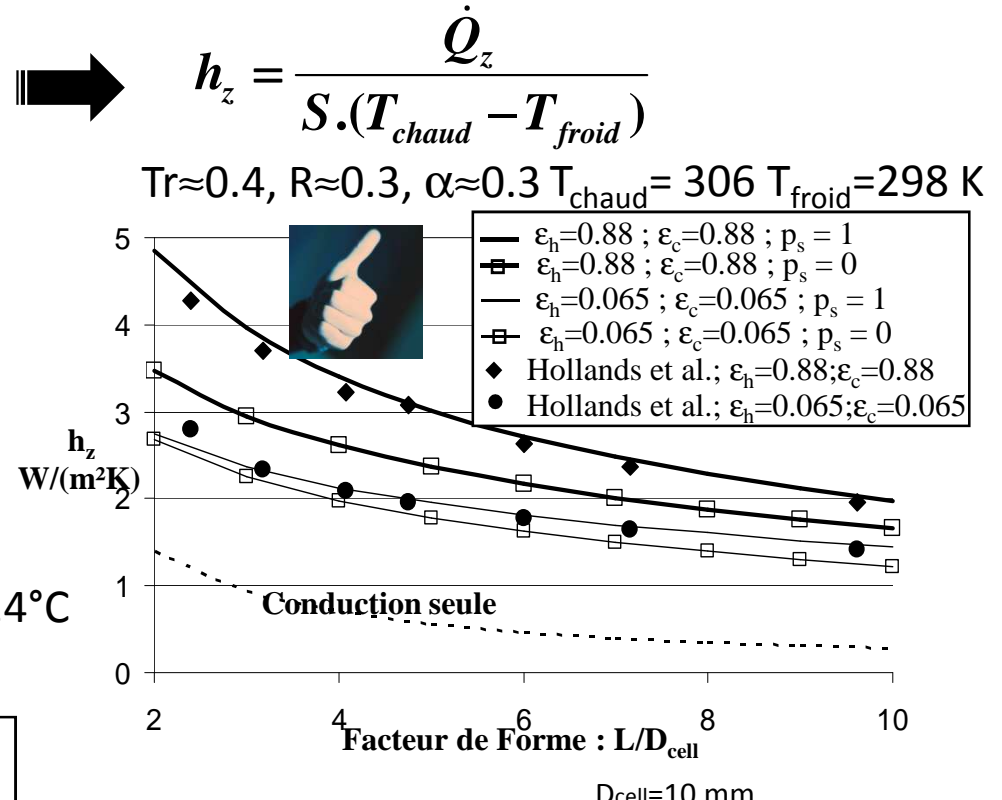


Hollands, et al. *International Journal of Heat and Mass Transfer*, Vol. 27 (1984) pp.2119–2131

$$Tr \approx 0.2, R \approx 0.15, \alpha \approx 0.65 T_h = 51.1^\circ\text{C}, T_c = 26.4^\circ\text{C}$$



L=30 mm



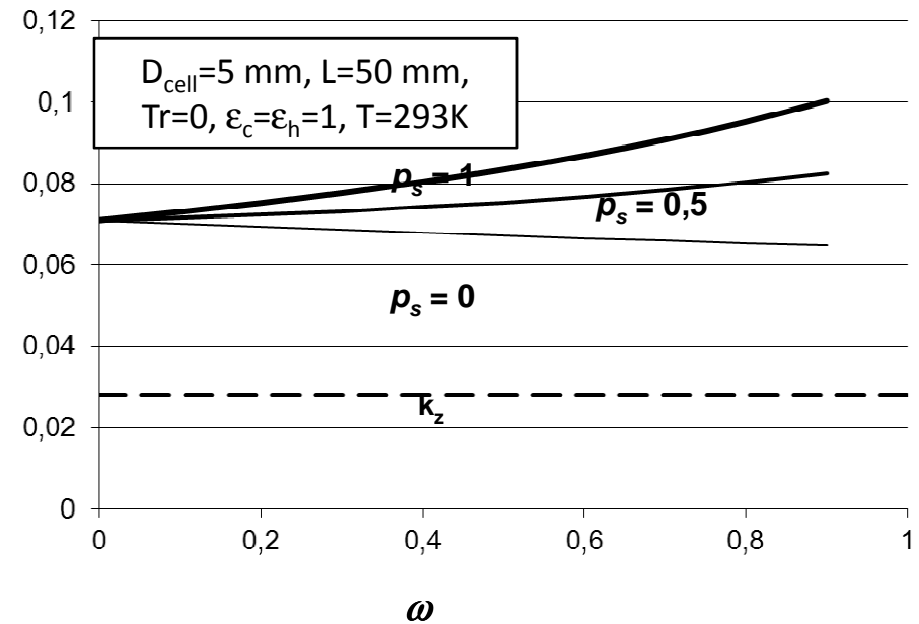
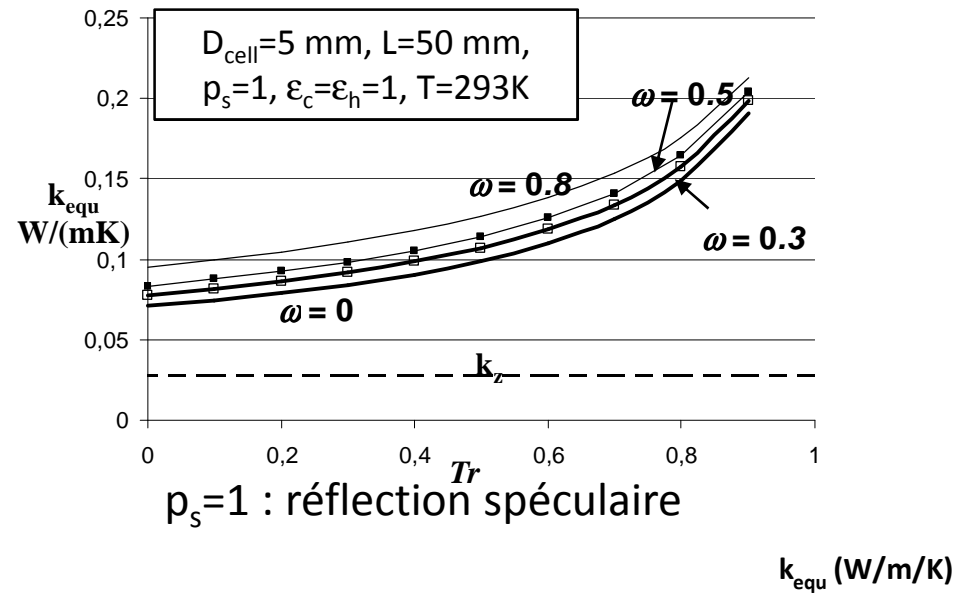
Suehrcke H. et al. *Solar Energy*, vol. 76 (2004) pp.351–358

3. Etude paramétrique

Évolution de la conductivité équivalente k_{equ}

Influence des propriétés optiques Tr_λ , α_λ , R_λ , ps_λ

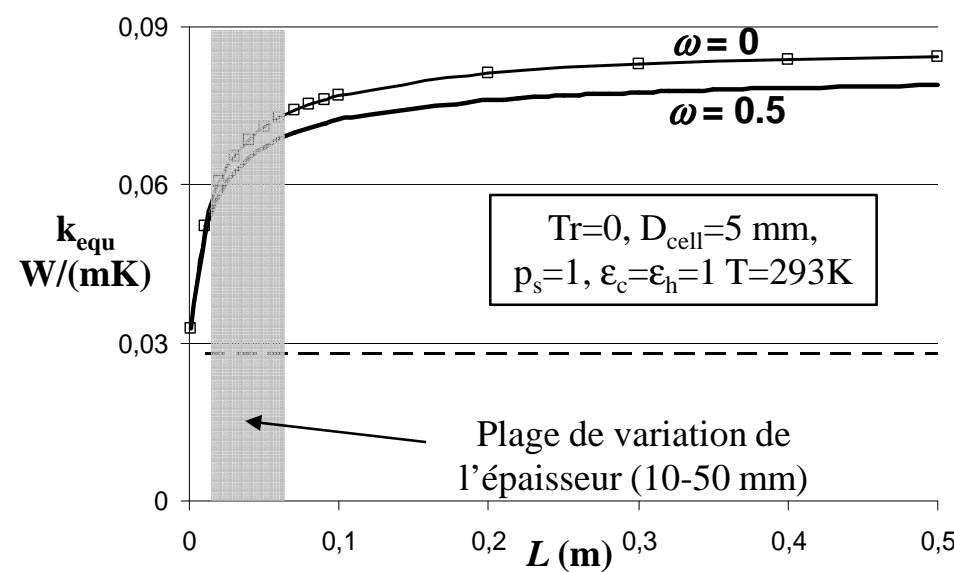
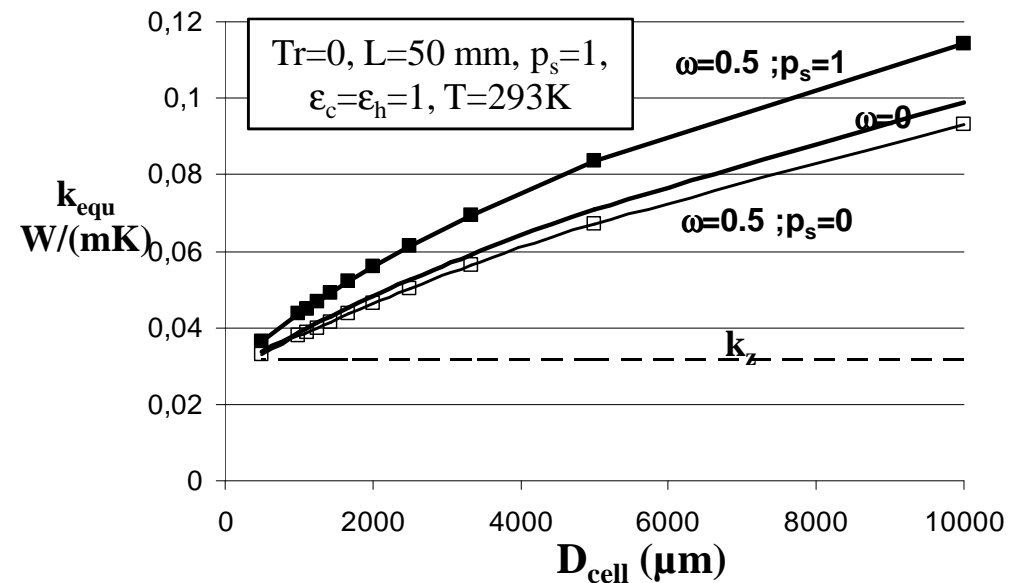
Compréhension par l'analyse des propriétés radiatives équivalentes



3. Etude paramétrique

Évolution de la conductivité équivalente k_{equ}

Influence de la taille des cellules D_{cell}

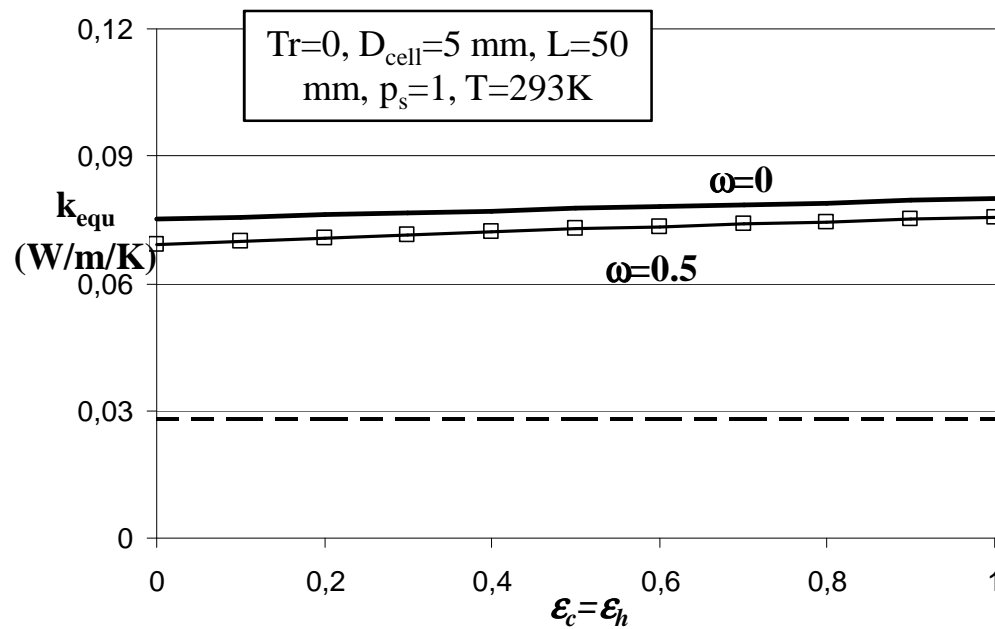
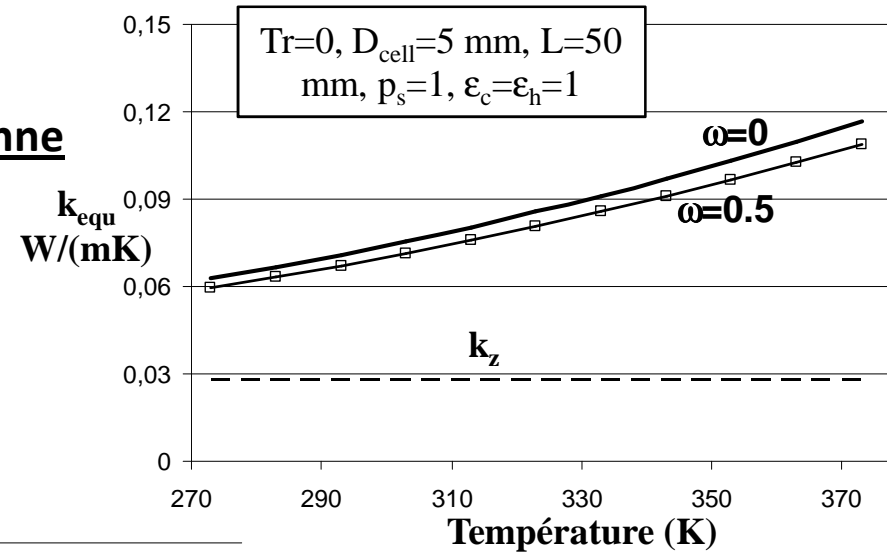


Influence de l'épaisseur d'isolant L

3. Etude paramétrique

Évolution de la conductivité équivalente k_{equ}

Influence de la Température moyenne



Influence de l'émissivité des frontières $\underline{\epsilon_c}=\underline{\epsilon_h}$

- Première étude détaillée sur le transfert thermique couplé dans les matériaux poreux en Nid d'Abeilles
- Hypothèse d'un milieu **semi-transparent conducteur homogène**
 - ✓ Propriétés conductives k_z , k_{\perp} par analogie électrique
 - ✓ Propriétés radiatives β_{λ} , κ_{λ} , σ_{λ} , $\Phi_{\lambda}(\theta, \theta')$ par lancer de rayon
- Validé expérimentalement
- Analyse du comportement thermique fortement anisotropes
- Mise en évidence des paramètres les plus influents sur les performances isolantes : propriétés structurelles (D_{cell} , L , T), propriétés des constituants (conductivité, propriétés optiques)

Évaluation des Ptés Radiatives

Coquard et al. (2011)

MC Ray Tracing Algorithm

(Randrianalisoa and Baillis, JQSRT, 2010)

For each ray 1 to N:

1 Determine the location of extinction and the ray direction after extinction, Δ

2 Track the ray path until new extinction and store the path length of the ray, $dist_i$

3 Determine the type of extinction:

- If absorption:

increment the number of absorption events, $n_a = n_a + 1$

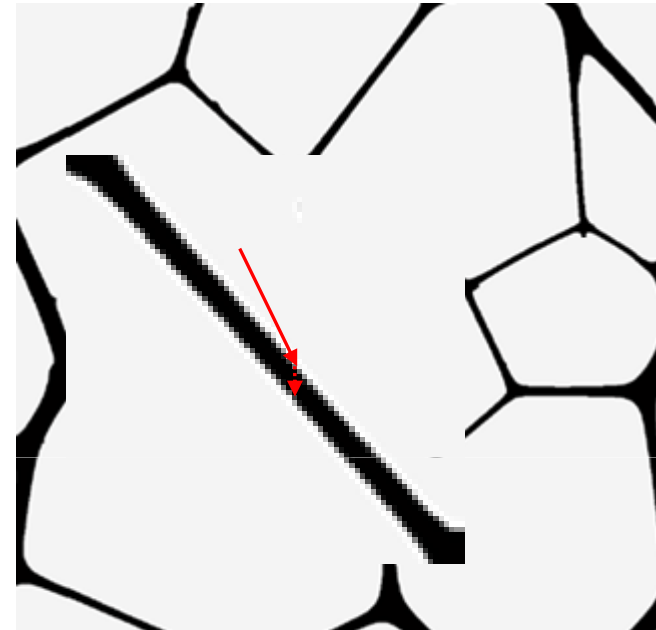
- If scattering:

draw the new scattering direction, Δ'

calculate the scattering angle $\Theta_i = (\Delta, \Delta')$;

increment the number of scattering of angle Θ_i , $N(\Theta_i)$

increment the number of scattering events, $n_s = n_s + 1$



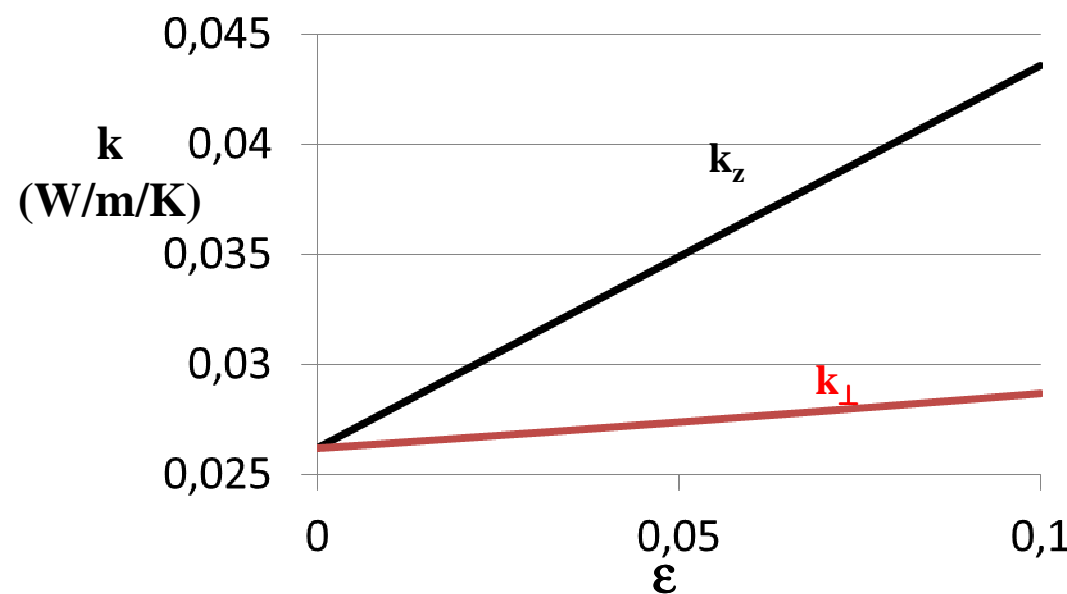
Formulas of radiative properties

$$\beta = \alpha + \sigma = \frac{n_a + n_s}{\sum_{i=1}^N dist_i} \quad \alpha = \frac{n_a}{\sum_{i=1}^N dist_i} \quad \sigma = \frac{n_s}{\sum_{i=1}^N dist_i}$$

$$\omega = \frac{\sigma}{\alpha + \sigma} = \frac{n_s}{n_s + n_a}$$

$$\Phi(\Theta_i) = \frac{N(\Theta_i)}{\frac{1}{4\pi} \sum_{i=1}^{n_\theta} N(\Theta_i) \Delta \Theta_i}$$

Résultats : Variation de la conductivité phonique



$$\omega_\lambda = R_\lambda / (a_\lambda + R_\lambda)$$